

ПЛОТНОСТЬ ЭЛЕКТРОННЫХ СОСТОЯНИЙ «СОБСТВЕННОГО» АМОРФНОГО ГИДРИРОВАННОГО КРЕМНИЯ

О. А. Голикова, Р. Г. Икрамов, М. М. Казанин, М. М. Мездрогина

Физико-технический институт им. А. Ф. Иоффе Российской академии наук,
194021, Санкт-Петербург, Россия

(Получена 25.06.1992. Принята к печати 18.09.1992)

Приводятся результаты исследований плотности состояний $g(\epsilon)$ «собственного» $a\text{-Si : H}$ методом фотоиндуцированного тока, ограниченного пространственным зарядом, в структурах с барьером Шоттки. Показано, что в верхней половине щели подвижности E_g $[\epsilon_c \div (\epsilon_c - E_g/2)] g(\epsilon)$, определенная этим методом, совпадает с $g(\epsilon)$, построенной как $g(\epsilon_F)$ ряда псевдолегированных образцов (при изменяющемся положении уровня Ферми ϵ_F). Показано также, что псевдолегирование связано с ростом величины $g(\epsilon)$ в нижней половине щели подвижности $[\epsilon_V \div (\epsilon_V + E_g/2)]$.

Как известно, плотность электронных локализованных состояний $g(\epsilon)$ аморфного гидрированного кремния ($a\text{-Si : H}$) видоизменяется при соответствующих трансформациях структурной сетки, осуществляемых как за счет введения примесей [1], так и за счет вариаций условий осаждения пленок. В последнем случае сдвиги уровня Ферми (ϵ_F) могут осуществляться только за счет видоизменений $g(\epsilon)$ (псевдолегирование) [2]. Исходя из сказанного, можно полагать, что функция $g(\epsilon)$, построенная в результате измерений величин $g(\epsilon_F)$ ряда образцов $a\text{-Si : H}$ (при $\epsilon_F = \text{var}$) [2], должна отличаться от $g(\epsilon)$ каждого из этих образцов (с определенным ϵ_F).

В настоящей работе методом фотоиндуцированных токов, ограниченных пространственным зарядом (ТОПЗ) [3, 4], определяли $g(\epsilon)$ «собственных» образцов $a\text{-Si : H}$, имеющих $\epsilon_c - \epsilon_F \approx E_g/2$ (ϵ_c — край зоны проводимости, E_g — щель подвижности). Определенную этим методом $g(\epsilon)$ затем сравнивали с построенной в результате измерений $g(\epsilon_F)$ при $\epsilon_F = \text{var}$. Положение ϵ_F варьировалось методом псевдолегирования, которое осуществлялось при осаждении пленок в триодной системе высокочастотного разложения силановых смесей в условиях вариаций положительного потенциала на сетке и соответственно изменений интенсивности бомбардировки растущей пленки частицами плазмы. Все остальные параметры осаждения (температура, скорость осаждения, состав газовой смеси и др.) поддерживались постоянными [2].

Пленки собственного $a\text{-Si : H}$, исследованные в настоящей работе, получены в условиях минимизации бомбардировки (при заземленной сетке). Действительно, при этом концентрация дефектов N_D , определенная методом постоянного фототока (МПФ) при $\epsilon_F = \text{var}$, минимальна, а $\epsilon_c - \epsilon_F \approx E_g/2$ (рис. 1).

Далее на основе этих пленок путем напыления верхнего слоя Pt и нижнего ITO (смесь $\text{In}_2\text{O}_3\text{-SnO}_2$) были изготовлены структуры с барьерами Шоттки.

В [3] было показано, что при выполнении ряда условий фото-ВАХ структур с барьерами Шоттки определяются механизмом ТОПЗ, при котором фототок и напряжение связаны соотношением $I_{\text{ph}} \sim V^m$ ($m > 2$). Этими условиями являются: малость темнового тока по сравнению с фототоком, выполнение неравенства

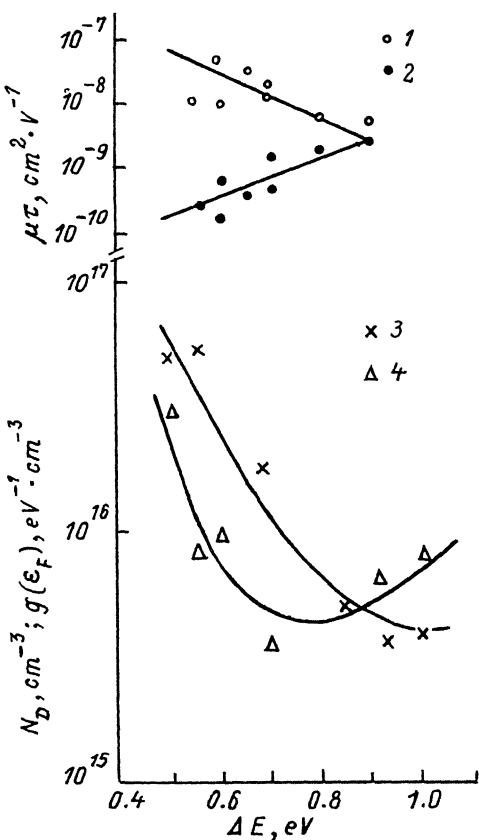


Рис. 1. Зависимости от величины энергии активации темновой проводимости $\Delta E = (\varepsilon_c - \varepsilon_F)_{T=0}$: 1 — $(\mu\tau)_n$; 2 — $(\mu\tau)_p$; 3 — N_D ; 4 — $g(\varepsilon_F)$. Данные для $(\mu\tau)_n, p$ и $g(\varepsilon_F)$ взяты из [2].

$\alpha^d \gg 1$ (α — коэффициент поглощения, d — толщина образца), выполнение неравенства $\mu\tau\varepsilon \ll d$ (μ , τ — подвижность и время жизни носителей заряда, ε — электрическое поле). Тогда при приложении к слою ITO отрицательного потенциала можно наблюдать фототок электронов в режиме ТОПЗ, а при приложении положительного потенциала — фототок дырок в режиме ТОПЗ, и определить $g(\varepsilon)$ в областях E_g как выше, так и ниже ε_F [3]. В [3], однако, исследовали нелегированный $a\text{-Si : H}$, у которого величины удельных сдвигов электронов и дырок составляли: $(\mu\tau)_n = 2 \cdot 10^{-8} \text{ см}^{-2} \cdot \text{В}^{-1}$, $(\mu\tau)_p = 2 \cdot 10^{-9} \text{ см}^{-2} \cdot \text{В}^{-1}$. Тогда условие $\mu\tau\varepsilon \ll d$ выполняется только для дырок. Поэтому в [3] для снижения $(\mu\tau)_n$ применяли специальное легирование пленки $a\text{-Si : H}$ бором (на глубину ~ 0.1 мкм). Это дало возможность наблюдать фототок электронов в режиме ТОПЗ.

В [4] методом измерения фотоиндукционного ТОПЗ структур с барьерами Шоттки исследовали псевдолегированные пленки $a\text{-Si : H}$ n -типа проводимости, в которых условие $\mu\tau\varepsilon \ll d$ для электронов также не выполнялось. Для ряда образцов были построены $g(\varepsilon)$ в области ниже ε_F [$\varepsilon_v \div (\varepsilon_v + E_g/2)$], хорошо согласующиеся с $g(\varepsilon)$ для аналогичных образцов, определенными методом видикона [5]. Тем не менее для создания мишней видикона, как и других приборов, наибольший интерес представляет именно собственный $a\text{-Si : H}$.

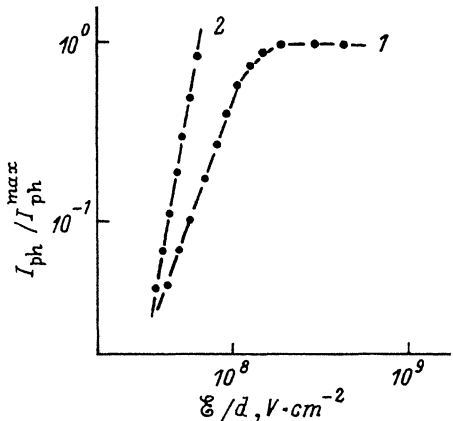


Рис. 2. Отношение фототока к максимальному фототоку диода Шоттки $I_{\text{ph}}/I_{\text{ph}}^{\text{max}}$ в зависимости от E/d при приложении положительного (1) и отрицательного (2) потенциала к слою ITO . E — поле, d — толщина пленки $a\text{-Si : H}$. Показатель степенной зависимости ВАХ, m : 1 — 2.9, 2 — 5.4.

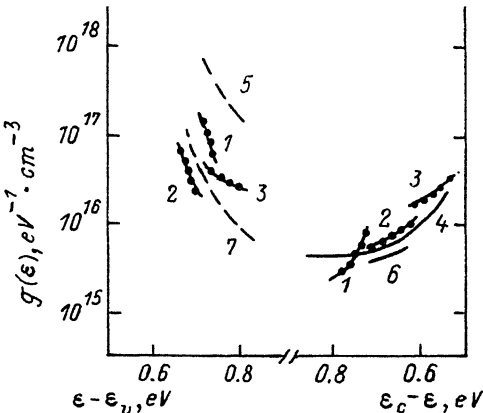


Рис. 3. Плотность состояний в щели подвижности $a\text{-Si : H}$, определенная методом фототока в режиме ТОПЗ (1—3, 5—7) и методом измерения $g(\epsilon_F)$ при $\epsilon_F = \text{var}$ (4). 1—3 — «собственные» образцы; 5 — псевдолегированный образец ($\Delta E = 0.6$ эВ); 6 — данные [3], 7 — усреднение данных для собственных образцов.

Величины энергии активации темновой проводимости для собственных образцов $a\text{-Si : H}$, исследованных в настоящей работе, составляли $\Delta E = 0.90\text{--}0.93$ эВ. Если полагать, как это в настоящее время принято [6], что зазор между ϵ_c и ϵ_F (при $T = 0$) равен

$$\epsilon_c - \epsilon_F = kT \ln \sigma_0/\sigma, \quad (1)$$

где $\sigma_0 = 150 \text{ Ом}^{-1} \cdot \text{см}^{-1}$, σ — темновая проводимость при данной температуре, то величина этого зазора при комнатной температуре в среднем составляет 0.85 эВ. Поскольку для исследованных образцов $E_g = 1.85$ эВ, очевидно, что уровень ϵ_F несколько сдвинут от уровня $(\epsilon_c - E_g)/2$ в сторону ϵ_c , по-видимому, из-за асимметрии функции $g(\epsilon)$. Известно, в частности, что валентная зона $a\text{-Si : H}$ имеет несколько более протяженный хвост, чем зона проводимости. Что касается асимметрии плотности состояний в центральной части E_g , о ней можно будет судить после рассмотрения результатов, представленных ниже.

Из рис. 1 следует, что для собственного $a\text{-Si : H}$ $(\mu\tau)_n \approx (\mu\tau)_p = 5 \cdot 10^{-9} \text{ см}^{-2} \cdot \text{В}^{-1}$. Поэтому, исследуя фото-ВАХ структур с барьерами Шоттки, можно наблюдать как дырочный, так и электронный ТОПЗ. В этом состоит отличие результатов настоящей работы от данных [3] и [4]. Отметим еще раз, что в [3] для наблюдения электронного ТОПЗ применяли специальное легирование $a\text{-Si : H}$ бором, а в [4] для псевдолегированных образцов n -типа проводимости в условиях $(\mu\tau)_n \gg (\mu\tau)_p$ (рис. 1) наблюдали только дырочный ТОПЗ.

Структуры с барьерами Шоттки при $T = 300$ К освещались со стороны ITO светом с длиной волны $\lambda = 444$ нм, плотность потока фотонов составляла $\Phi = 10^{14} \text{ см}^{-2} \cdot \text{с}^{-1}$. Темновой ток был на порядки ниже, чем фототок. Поэтому ТОПЗ были обусловлены неравновесными носителями, создаваемыми светом в приповерхностном слое $a\text{-Si : H}$, а не инжекцией из контактов.

Создание именно этих неравновесных носителей и обеспечивает изменение квазиуровня Ферми от точки к точке фото-ВАХ, т. е. сканирование по энергии при определении функции $g(\epsilon)$. Тогда, согласно [3], величина $g(\epsilon)$ при данной ϵ определялась следующим образом:

$$g(\epsilon) = \frac{x_0}{ed^2kT} \frac{V}{m-1}, \quad (2)$$

где x_0 — диэлектрическая постоянная, а зазоры:

$$\epsilon_c - \epsilon = kT \ln(eN_c \mu_c/d) + kT \ln(V/I), \quad (3)$$

$$\epsilon - \epsilon_v = kT \ln(eN_v \mu_v/d) + kT \ln(V/I), \quad (4)$$

где N_c и N_v — эффективное число состояний соответственно в зонах проводимости и валентной, приходящихся на интервал kT , μ_c и μ_v — подвижности носителей тока в этих зонах.

Величины $N_c \mu_c$ и $N_v \mu_v$ полагались равными $10^{21} \text{ см}^{-1} \cdot \text{с}^{-1}$ [3]. Для определения $g(\epsilon)$ в верхней половине E_g , примыкающей к ϵ_c , использовали прямые фото-BAX структур (рис. 2) и формулы (2), (3), а для определения $g(\epsilon)$ в другой половине E_g — обратные фото-BAX (рис. 2) и формулы (2), (4).

Результаты определения $g(\epsilon)$ собственного $a\text{-Si : H}$ представлены на рис. 3. Видно, во-первых, что результаты, полученные для разных образцов, хорошо согласуются между собой. Во-вторых, результаты, представленные на рис. 3, говорят об асимметрии $g(\epsilon)$ в центральной части E_g . Это согласуется с представлениями о том, что максимумы полос оборванных связей находятся в нижней половине E_g , примыкающей к ϵ_c , [6].

На рис. 3 представлена также кривая $g(\epsilon)$, построенная по данным рис. 1. Эта функция определена как $g(\epsilon_F)$ при $\epsilon_F = \text{var}$, т. е. методом измерения набора образцов псевдолегированного $a\text{-Si : H}$ n -типа проводимости. Видно, что данные, полученные двумя вышеуказанными методами, хорошо совпадают. Отсюда следует, что существенных изменений $g(\epsilon)$ в рассматриваемой области $E_g[\epsilon_c + (\epsilon_c + E_g)/2]$ при псевдолегировании не происходит.

Аналогичное сравнение в области $\epsilon_v + (\epsilon_v + E_g/2)$ невозможно из-за отсутствия образцов псевдолегированного $a\text{-Si : H}$ p -типа проводимости. Однако имеются данные о $g(\epsilon)$ в этой области для псевдолегированного $a\text{-Si : H}$ n -типа проводимости, также полученные методом фотоиндукционного ТОПЗ (рис. 4). Далее они сравниваются с данными для собственного $a\text{-Si : H}$ (рис. 3).

Из рис. 3 следует существенное увеличение величины $g(\epsilon)$ при псевдолегировании, очевидно, за счет увеличения плотности оборванных связей. Действительно, изменения $g(\epsilon)$ (рис. 3) количественно согласуются с изменениями величины концентрации дефектов (оборванных связей), определенной методом МПФ (рис. 1).

Таким образом, неминимизированная бомбардировка растущей пленки $a\text{-Si : H}$ заряженными частицами плазмы приводит к возрастанию числа оборванных связей и соответственно к росту величины $g(\epsilon)$ в области $\epsilon_v + (\epsilon_v + E_g/2)$, т. е. к усилиению асимметрии этой функции. Это в свою очередь приводит к значительным сдвигам ϵ_F в сторону ϵ_c (эффект псевдолегирования). Отметим, что некоторая асимметрия $g(\epsilon)$ в центральной части (рис. 3) существует и для собственного $a\text{-Si : H}$ — в условиях минимума числа дефектов в структурной сетке (рис. 1).

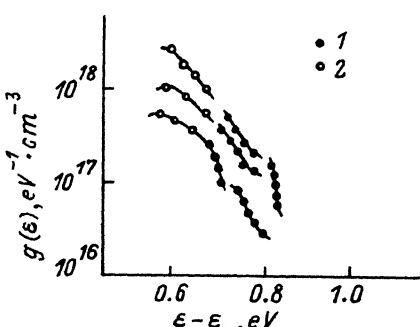


Рис. 4. Плотность состояний в щели подвижности, определенная для ряда псевдолегированных образцов $a\text{-Si : H}$ методами фототока в режиме ТОПЗ (1) и видикона (2).

СПИСОК ЛИТЕРАТУРЫ

- [1] R. A. Street. Phys. Rev. Lett., **49**, 1187 (1982).
- [2] О. А. Голикова. ФТП, **25**, 1517 (1991).
- [3] H. Kakinuma, M. Mouri, M. Sakamoto, H. Sawai. J. Appl. Phys., **67**, 558 (1990).
- [4] О. А. Голикова, Р. Г. Икрамов, М. М. Казанин. ФТП, **26**, 71 (1992).
- [5] О. А. Голикова, У. С. Бабаходжаев, М. М. Казанин, М. М. Мездргина. ФТП, **25**, 102 (1991).
- [6] K. Pierz, W. Fuhs, H. Mell. Phil. Mag. B, **63**, 123 (1991).

Редактор Л. В. Шаронова
